

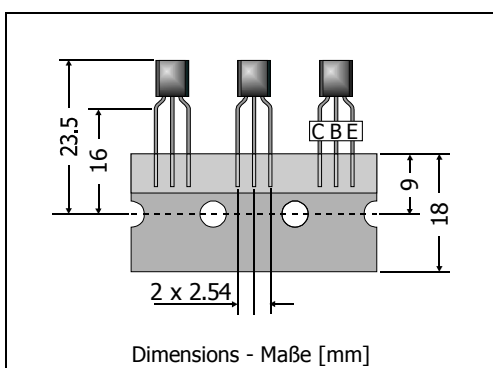
2N3904

NPN

Si-Epitaxial-Planar Switching Transistors
Si-Epitaxial-Planar Schalttransistoren

NPN

Version 2010-02-09

Power dissipation
Verlustleistung

625 mW

Plastic case
KunststoffgehäuseTO-92
(10D3)

Weight approx. – Gewicht ca.

0.18 g

Plastic material has UL classification 94V-0
Gehäusematerial UL94V-0 klassifiziertStandard packaging taped in ammo pack
Standard Lieferform gegurtet in Ammo-PackMaximum ratings ($T_A = 25^\circ\text{C}$)Grenzwerte ($T_A = 25^\circ\text{C}$)

	2N3904	
Collector-Emitter-volt. – Kollektor-Emitter-Spannung B open	V_{CEO}	40 V
Collector-Base-voltage – Kollektor-Basis-Spannung E open	V_{CBO}	60 V
Emitter-Base-voltage – Emitter-Basis-Spannung C open	V_{EBO}	6 V
Power dissipation – Verlustleistung	P_{tot}	625 mW ¹⁾
Collector current – Kollektorstrom (dc)	I_C	200 mA
Junction temperature – Sperrsichttemperatur Storage temperature – Lagerungstemperatur	T_j T_s	-55...+150°C -55...+150°C

Characteristics ($T_j = 25^\circ\text{C}$)Kennwerte ($T_j = 25^\circ\text{C}$)

	Min.	Typ.	Max.
DC current gain – Kollektor-Basis-Stromverhältnis ²⁾			
$I_c = 0.1 \text{ mA}, V_{CE} = 1 \text{ V}$	h_{FE}	4070	–
$I_c = 1 \text{ mA}, V_{CE} = 1 \text{ V}$	h_{FE}	100	–
$I_c = 10 \text{ mA}, V_{CE} = 1 \text{ V}$	h_{FE}	60	–
$I_c = 50 \text{ mA}, V_{CE} = 1 \text{ V}$	h_{FE}	30	–
$I_c = 100 \text{ mA}, V_{CE} = 1 \text{ V}$	h_{FE}	–	–
h-Parameters at/bei $V_{CE} = 10 \text{ V}, I_c = 1 \text{ mA}, f = 1 \text{ kHz}$			
Small signal current gain – Kleinsignal-Stromverstärkung	h_{fe}	100	–
Input impedance – Eingangs-Impedanz	h_{ie}	$1 \text{ k}\Omega$	–
Output admittance – Ausgangs-Leitwert	h_{oe}	$1 \mu\text{S}$	–
Reverse voltage transfer ratio – Spannungsrückwirkung	h_{re}	$0.5 \cdot 10^{-4}$	$8 \cdot 10^{-4}$

1 Mounted on P.C. board with 3 mm^2 copper pad at each terminal
Montage auf Leiterplatte mit 3 mm^2 Kupferbelag (Lötpad) an jedem Anschluss

2 Tested with pulses $t_p = 300 \mu\text{s}$, duty cycle $\leq 2\%$ – Gemessen mit Impulsen $t_p = 300 \mu\text{s}$, Schaltverhältnis $\leq 2\%$

Characteristics ($T_j = 25^\circ\text{C}$)Kennwerte ($T_j = 25^\circ\text{C}$)

		Min.	Typ.	Max.
Collector-Emitter saturation voltage – Kollektor-Sättigungsspannung ²⁾ $I_C = 10 \text{ mA}, I_B = 1 \text{ mA}$ $I_C = 50 \text{ mA}, I_B = 5 \text{ mA}$	V_{CEsat} V_{CEsat}	– –	– –	0.2 V 0.3 V
Base-Emitter saturation voltage – Basis-Sättigungsspannung ²⁾ $I_C = 10 \text{ mA}, I_B = 1 \text{ mA}$ $I_C = 50 \text{ mA}, I_B = 5 \text{ mA}$	V_{BEsat} V_{BEsat}	0.65 V –	– –	0.65 V 0.95 V
Collector-Base cutoff current – Kollektor-Basis-Reststrom $V_{CE} = 30 \text{ V}, V_{EB} = 3 \text{ V}$	I_{CBX}	–	–	50 nA
Emitter-Base cutoff current – Emitter-Basis-Reststrom - $V_{CE} = 30 \text{ V}, -V_{EB} = 3 \text{ V}$	I_{EBV}	–	–	50 nA
Gain-Bandwidth Product – Transitfrequenz $I_C = 10 \text{ mA}, V_{CE} = 20 \text{ V}, f = 100 \text{ MHz}$	f_T	300 MHz	–	–
Collector-Base Capacitance – Kollektor-Basis-Kapazität $V_{CB} = 5 \text{ V}, I_E = i_e = 0, f = 1 \text{ MHz}$	C_{CBO}	–	–	4 pF
Emitter-Base Capacitance – Emitter-Basis-Kapazität $V_{EB} = 0.5 \text{ V}, I_C = i_c = 0, f = 1 \text{ MHz}$	C_{EBO}	–	–	8 pf
Noise figure – Rauschzahl $V_{CE} = 5 \text{ V}, I_C = 1 \mu\text{A}, R_G = 1 \text{ k}\Omega, f = 1 \text{ kHz}$	F	–	–	5 dB
Switching times – Schaltzeiten (between 10% and 90% levels) delay time rise time storage time fall time	t_d t_r t_s t_f	– – – –	– – – –	35 ns 35 ns 200 ns 50 ns
Thermal resistance junction to ambient air Wärmewiderstand Sperrsicht – umgebende Luft	R_{thA}	< 200 K/W ¹⁾		
Recommended complementary PNP transistors Empfohlene komplementäre PNP-Transistoren	2N3906			

2 Tested with pulses $t_p = 300 \mu\text{s}$, duty cycle $\leq 2\%$ – Gemessen mit Impulsen $t_p = 300 \mu\text{s}$, Schaltverhältnis $\leq 2\%$ 1 Mounted on P.C. board with 3 mm^2 copper pad at each terminal
Montage auf Leiterplatte mit 3 mm^2 Kupferbelag (Lötpad) an jedem Anschluss